

Компенсатор атмосферной дисперсии спектрополяриметра 2.5-м телескопа

Б. Сафонов

9 сентября 2015 г.

1 Определение параметров призм

Компенсатор будет представлять собой две одинаковые призмы прямого зрения, установленные в пучке последовательно. На рисунке 1 представлена диаграмма угловых дисперсий призм компенсатора. Модули векторов \vec{d}_1 и \vec{d}_2 , постоянны, ориентацией векторов относительно оси OX (углы χ_1 и χ_2) мы можем управлять независимо. Таким образом вектор полной дисперсии $\vec{d}_t = \vec{d}_1 + \vec{d}_2$ может быть произвольно ориентирован ($\chi = (\chi_1 + \chi_2)/2$), также можно варьировать его модуль $d_t = 2|\vec{d}| \sin(\Delta\chi)$.

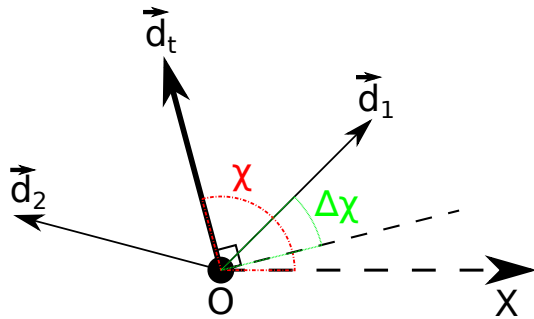


Рис. 1: Угловые дисперсии призм компенсатора дисперсии. Ось OX задает опорное направление вдоль возрастания горизонтальной оси детектора в режиме электронного усиления. Смотрим на фокальную плоскость со стороны детектора к телескопу. \vec{d}_1 и \vec{d}_2 — индивидуальные вектора дисперсии призм. \vec{d}_t — вектор суммарной дисперсии. Углы χ и $\Delta\chi$ отсчитываются против часовой стрелки.

Обозначим $n_a(\lambda)$ зависимость показателя преломления воздуха от длины волны, ее мы взяли на одном надежном сайте. Угловая атмосферная дисперсия:

$$d'_a = (n_a - 1) \operatorname{tg} z, \quad (1)$$

где z — зенитное расстояние.

Спектрополяриметр предполагается использовать на телескопах диаметром до 6 м и зенитных расстояниях до 50.5° . Компенсатор атмосферной дисперсии будет установлен в параллельном пучке диаметром 2.5 мм. Таким образом, полное увеличение угловой дисперсии $m = 2400$ раз.

Одна призма должна компенсировать половину этой дисперсии $d_p = |\vec{d}_1| = |\vec{d}_2| = (m/2)|\vec{d}'_a|$. Кроме того, мы не будем компенсировать рефракцию, т.к. она исправляется наведением телескопа в правильное место.

В качестве материалов для призмы мы рассмотрели стекло Ф1 в качестве тяжелого и БК8, ЛК5, ЛК7, плавленный кварц в качестве легких. Конфигурация призмы и обозначения углов см. на рис. 2. Обозначим отклонение пучка призмой как d_p . Мы минимизировали величину

$$\sum_{i=1}^N (d_p(\lambda_i) - d_a(\lambda_i))^2, \quad (2)$$

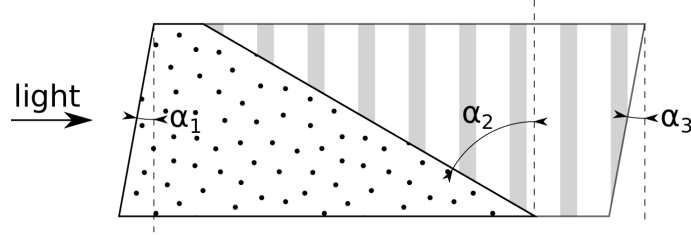


Рис. 2: Разрез одной из призм компенсатора атмосферной дисперсии.

где λ изменяется от 400 до 900 нм. При минимизации подбирались значения углов $\alpha_1, \alpha_2, \alpha_3$. При расчете был использован закон Снеллиуса и зависимости показателей преломления, взятые на надежном сайте. Результаты приведены в таблице 1. Как видим, наименьшие углы имеет призма из Ф1 и кварца, причем свет входит через сторону, с которой Ф1.

Две призмы с углами $\alpha_1 = -18.7^\circ$, $\alpha_2 = 58.5^\circ$ и $\alpha_3 = 3.6^\circ$ из стекла Ф1 и плавленного кварца были изготовлены в RIVoptics.

Таблица 1: Углы наклона торцов призм, составляющих компенсатор. Оптимизация для атмосферной дисперсии при зенитном расстоянии $z = 50.5^\circ$, увеличении 2400 раз, исправляем половину дисперсии. Расчет для разного порядка материалов. Первый материал в паре — это тот, со стороны которого входит пучок.

материалы	углы наклона		
	$\alpha_1, {}^\circ$	$\alpha_2, {}^\circ$	$\alpha_3, {}^\circ$
Ф1–кварц	-18.7	58.5	3.6
кварц–Ф1	9.0	65.1	-20.8
Ф1–БК8	-15.3	74.0	4.0
БК8–Ф1	7.6	81.1	-22.0
Ф1–ЛК5	-18.2	61.6	3.5
ЛК5–Ф1	9.2	68.5	-20.7
Ф1–ЛК7	-18.0	62.4	3.8
ЛК7–Ф1	9.5	69.5	-20.7

2 Использование и ожидаемая эффективность призм Ф1–кварц

Предположим, что мы хотим компенсировать атмосферную дисперсию на некотором зенитном расстоянии z , в фотометрической полосе $F(\lambda)$. В этом случае мы должны варьировать $\Delta\chi$ так, чтобы минимизировать величину

$$\sum_{i=1}^N F^2(\lambda_i) (d_p(\lambda_i) 2 \sin(\Delta\chi) - d'_{a,0}(\lambda_i) m \tan z + \delta')^2, \quad (3)$$

где $d'_{a,0}(\lambda)$ — постоянная атмосферной дисперсии. Как видно, мы также допускаем полное смещение изображения δ .

Подстановки $2 \sin \Delta\chi = \gamma m \tan z$ и $\delta' = \delta m \tan z$ позволяют избавиться от зависимости от зенитного расстояния в этом выражении:

$$\sum_{i=1}^N F^2(\lambda_i) (d_p(\lambda_i) \gamma - d'_{a,0}(\lambda_i) + \delta)^2. \quad (4)$$

Величину γ мы будем оптимизировать для каждого фильтра. Результаты приведены в таблице 2. Заметим, что в программе **Sparkle** эта величина вводится в виде $\gamma m / 2$ (параметр **filter1ADCcoef** для фильтра 1).

Таблица 2: Управляющий коэффициент γ для имеющихся призм и разных фотометрических полос. Также в третьей колонке приведено остаточное смещение δ в угловой мере. EO84783 — фильтр полушириной 50 нм центрированный на 500 нм, EO84784 — тоже, но центрированный на 550 нм, EO86953 — тоже, но центрированный на 625 нм. Empty — без фильтра, кривая чувствительности детектора.

полоса	$\gamma \times 10^4$	$\delta \times 10^6, \text{RAD}$
<i>B</i>	2.60	1.51
<i>V</i>	3.22	0.14
<i>R</i>	3.78	-0.56
<i>I</i>	5.02	-1.79
EO84783	2.99	1.60
EO84784	3.20	0.53
EO86953	3.54	-0.69
empty	3.14	-0.14

На рис. 3 приведены зависимости остаточных отклонений в пределах фотометрических полос для случая $m = 1000$, $\text{tg } z = 1$. Результаты представлены в линейной мере, в пикселях для фокуса объектива 160 мм и пикселя размером 15 мкм.

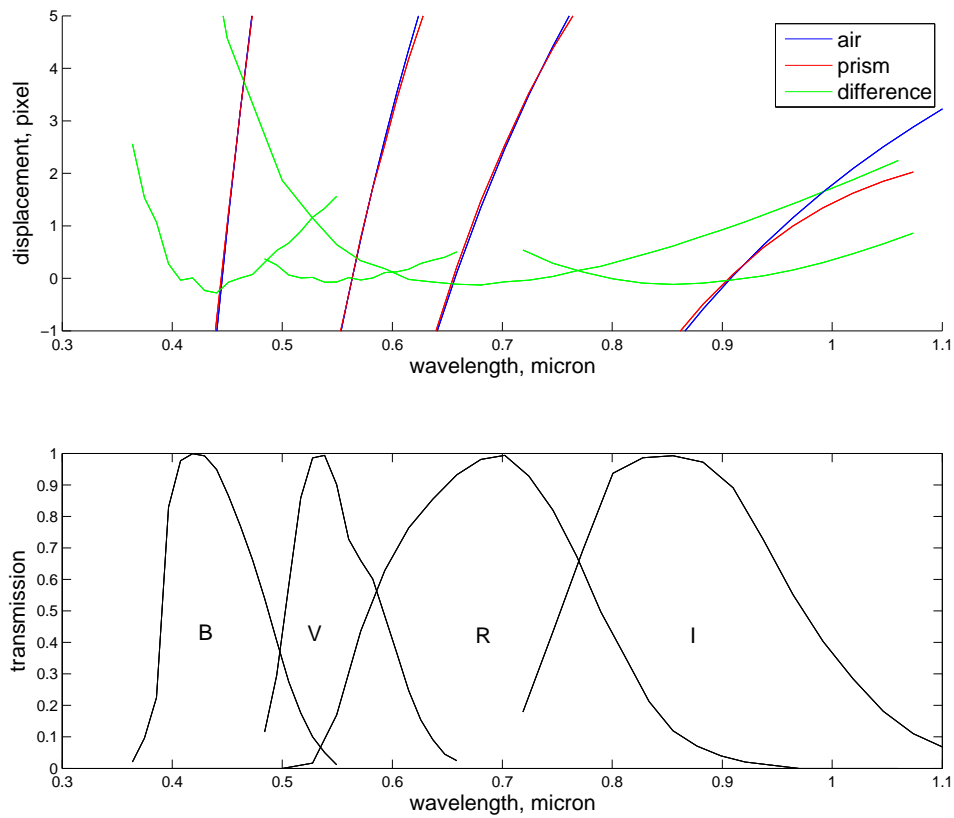


Рис. 3: Верхняя панель: линейное отклонение пучка в пикселях за счет дисперсии воздуха, призмы и их разность. Дисперсия рассчитана для 2.5 м телескопа ($m = 1000$), зенитного расстояния 45° , фокуса объектива 160 мм и пикселя размером 15 мкм. Нижняя панель: пропускание фильтров.

3 Требования к точности угла поворота призм

Отклонение угла поворота одной из призм θ от оптимального значения θ_o будет приводить к появлению паразитной дисперсии. Оценим ее:

$$\Delta = [\cos(\theta_o) - \cos(\theta)] |d_p(\lambda_1) - d_p(\lambda_2)|, \quad (5)$$

где λ_1, λ_2 — края полосы.

Накладывая ограничение на линейную меру паразитной дисперсии 4 мкм (на детекторе при фокусе последнего объектива 125 мм), оценим требования к точности установки угла в месте наибольшей чувствительности (при $\theta \rightarrow 0$). Эти требования: $0.36^\circ, 0.80^\circ, 0.66^\circ, 1.3^\circ$, для полос B, V, R, I , соответственно.